

**Received:** 27.06.2022**Revised:** 25.07.2022**Accepted:** 26.08.2022**DOI:** 10.17804/2410-9908.2022.4.081-089

## STUDYING SUPERCRITICAL DEFORMATIONS OF FLAT ELLIPSOIDAL PANELS OF CONSTANT THICKNESS

V. V. Chupin<sup>a)</sup> and D. E. Chernogubov<sup>b)\*</sup>*B. N. Yeltsin Ural Federal University,  
19 Mira St., Ekaterinburg, 620002, Russian Federation*<sup>a)</sup>  <https://orcid.org/0000-0001-9745-1593>  v.v.chupin@urfu.ru;<sup>b)</sup>  <https://orcid.org/0000-0002-3783-7897>  d.e.chernogubov@urfu.ru

\*Corresponding author. E-mail: d.e.chernogubov@urfu.ru

Address for correspondence: 19 Mira St., Ekaterinburg, 620002, Russian Federation

Tel.: +7 (343) 375 45 33

An algorithm is developed for studying the stress-strain state of elastic thin-walled shell systems consisting of shells of revolution. Based on this algorithm, a computer program is written which allows one to determine the stress-strain parameters of shells in a wide range of geometric, physical, and force parameters. Supercritical deformations of flat ellipsoidal panels of constant thickness are studied.

**Keywords:** shell, deformation, deflection.

### References

1. Valishvili N.V. *Metody rascheta obolochek vrashcheniya na ETSVM* [Methods for Calculating Shells of Revolution on a Computer]. Moscow, Mashinostroenie Publ., 1976, 278 p. (In Russian).
2. Volmir A.S. *Gibkie plastiny i obolochki* [Flexible plates and shells]. Moscow, GITL Publ., 1956, 420 p. (In Russian).
3. Vorovich I.V. and Minakova N.I. *Problema ustoychivosti I chislennye metody v teorii sfericheskikh obolochek* [Stability Problems and Numerical Methods in the Theory of Spherical Shells, Results of Science and Technology. Mechanics of Solid Deformable Bodies: vol. 7]. Moscow, VINITI Publ., 1974, pp. 5–86. (In Russian).
4. Gavryushin S.S. Numerical modeling and analysis of the processes of nonlinear deformation of flexible shells. *Izvestiya RAN, MTT*, 1994, no. 1, pp. 109–119. (In Russian).
5. Grigolyuk E.I. and Mamai V.I., *Mekhanika deformirovaniya sfericheskikh obolochek* [Deformation Mechanics for Spherical Shells]. Moscow, Izd-vo MGU Publ., 1983.
6. Grigolyuk E.I., Lopanitsyn E.A. Influence of Axisymmetric Initial Imperfections of a Spherical Shell on its Critical Load. *Izvestiya MGTU MAMI*, 2008, vol. 2, No. 1, pp. 233–246. DOI: 10.17816/2074-0530-69752. (In Russian).
7. Grigolyuk E.I., Lopanitsyn Ye.A. The axisymmetric postbuckling behaviour of shallow spherical domes. *Journal of Applied Mathematics and Mechanics*, 2002, vol. 66, iss. 4, pp. 605–616. DOI: 10.1016/S0021-8928(02)00079-5.
8. Grigolyuk E.I., Lopanitsyn E.A. Asymmetric behavior of a sloping spherical shell under finite deflections. *Doklady Physics*, 2003, vol. 48, pp. 80–83. DOI: 10.1134/1.1560736.
9. Karmishin A.V., Lyaskovets V.A., Myachenkov V.I., Frolov A.N. *Statika i dinamika tonkostennykh obolochchnykh konstruktsiy* [Statics and dynamics of thin-walled shell structures]. Moscow, Mashinostroenie Publ., 1975, 376 p. (In Russian).

10. Kornishin M.S. Nelineynye zadachi teorii plastin i pologikh obolochek i metody ikh resheniya [Nonlinear problems of the theory of plates and shallow shells and methods for their solution]. Moscow, Nauka Publ., 1964, 192 p. (In Russian).
11. Bazhenov V.A., Solovei N.A., Krivenko O.P., Mishchenko O.A. Modeling of nonlinear deformation and buckling of elastic inhomogeneities shells. *Structural Mechanics of Engineering Constructions and Buildings*, 2014, No. 5, pp. 14–33. (In Russian).
12. Mushtari H.M., Galimov K.Z. Nelineynaya teoriya uprugikh obolochek [The nonlinear theory of elastic shells]. Kazan, Tatknigoizdat Publ., 1957, 431 p. (In Russian).
13. Novozhilov V.V. Osnovy nelineynoy teorii uprugosti [Fundamentals of nonlinear elasticity]. Moscow, Gostekhizdat Publ., 1948, 211 p. (In Russian).
14. Feodosev V.I. To the calculation of a flapping membrane. *Prikladnaya Matematika i Mekhanika*, 1946, No. 10 (2), pp. 295–300. (In Russian).
15. Chupin V.V., Chernogubov D.E. *Silnyy izgib i ustoichivost sostavnykh obolochek vrashcheniya pri osesimmetrichnom nagruzhenii s uchetom plasticheskikh deformatsiy* [Tight Bending and Stability of Compound Shells of Revolution Under Axisymmetric Loading with Allowance Made for Plastic Strains]: monograph. VINITI RAN, 2018, No. 102-B2018, 285 p. (In Russian).
16. Chupin V.V., Chernogubov D.E. Stability of flexible spherical panels of variable thickness under various fixing conditions. *Diagnostics, Resource and Mechanics of Materials and Structures*, 2015, iss. 5, pp. 45–57. DOI: 10.17804/2410-9908.2015.5.045-057. Available at: [https://dream-journal.org/issues/2015-5/2015-5\\_36.html](https://dream-journal.org/issues/2015-5/2015-5_36.html)
17. Von Kármán T., Tsien H.-S. The buckling of spherical shells by externals pressure. *Journal of the Aeronautical Sciences*, 1939, vol. 7, No. 2. pp. 43–50. DOI: 10.2514/8.1019.
18. Mescall J. Numerical solutions of nonlinear equations for shells of revolution. *AIAA Journal*, 1966, vol. 4, No. 11. pp. 2041–2043. DOI: 10.2514/3.3839.

**Подана в журнал:** 27.06.2022**УДК** 539.3**DOI:** 10.17804/2410-9908.2022.4.081-089

## ИССЛЕДОВАНИЕ ЗАКРИТИЧЕСКИХ ДЕФОРМАЦИЙ ПОЛОГИХ ЭЛЛИПСОИДАЛЬНЫХ ПАНЕЛЕЙ ПОСТОЯННОЙ ТОЛЩИНЫ

В. В. Чупин<sup>a)</sup>, Д. Е. Черногубов<sup>b)\*</sup>

*Федеральное государственное автономное образовательное учреждение высшего образования  
«Уральский федеральный университет имени первого Президента России Б. Н. Ельцина»,  
д. 19, ул. Мира, г. Екатеринбург, Российской Федерации*

<sup>a)</sup> <https://orcid.org/0000-0001-9745-1593> v.v.chupin@urfu.ru;<sup>b)</sup> <https://orcid.org/0000-0002-3783-7897> d.e.chernogubov@urfu.ru

\*Ответственный автор. Электронная почта: d.e.chernogubov@urfu.ru  
Адрес для переписки: ул. Мира, 19, Екатеринбург, Российской Федерации  
Тел.: +7 (343) 375-45-33

Разработан алгоритм исследования напряженно-деформированного состояния (НДС) упругих тонкостенных оболочечных систем, состоящих из оболочек вращения. На основе данного алгоритма написана программа для ЭВМ, позволяющая определять параметры НДС оболочек в широком диапазоне изменения геометрических, физических и силовых параметров. Исследованы закритические деформации пологих эллипсоидальных панелей постоянной толщины.

**Ключевые слова:** оболочка, деформация, прогиб.

### 1. Введение

Тонкостенные оболочечные конструкции применяются в различных областях современной техники и являются хорошо изученным разделом механики твердых деформируемых тел. В таких конструкциях под действием нагрузок могут возникать перемещения, не укладывающиеся в рамки линейной теории, что приводит к необходимости учета геометрической нелинейности [2, 12, 13]. Использование нелинейной теории позволяет с достаточной для инженерной практики точностью определять напряженно-деформированное состояние различного вида оболочек как в случае малых, так и больших прогибов. Однако с помощью этих уравнений значения критических нагрузок оказываются значительно больше значений получаемых в результате экспериментов. Для хорошо изученных сферических оболочек теоретически полученные значения критических нагрузок почти в 4 раза больше экспериментальных [6, 8]. Причин такого несовпадения результатов несколько. Это наличие у оболочки начальных неправильностей, начальных напряжений, отличие условий нагружения и закрепления от учитываемых в математической модели, неоднородность свойств материала, несимметричность деформирования и т.п. [6]. Наибольшее количество исследований по сферическим оболочкам выполнено для жестко заделанного по контуру упругого пологого сферического купола, нагруженного равномерным поперечным давлением [1, 3, 5, 9, 10, 14, 17, 18]. Дальнейшее развитие численные расчеты гибких оболочек получили при использовании метода продолжения по параметру [4, 7, 18]. Современные тенденции развития строительной механики побуждают разрабатывать уточненные методы исследования нелинейного деформирования и устойчивости оболочек. Проектируются оболочки гладкие, ступенчато переменной толщины, с изломами, подкрепленные ребрами и накладками, ослабленные отверстиями, выемками и каналами, граненые, многослойные [11].

Таким образом, развитие методов расчета оболочек и учет их начальных несовершенств является актуальным и имеет важное прикладное значение.

## 2. Задача исследования сильного изгиба упругой оболочки вращения

Будем рассматривать геометрически нелинейную задачу сильного изгиба тонких изотропных оболочек вращения, в которой не накладывается никаких ограничений на величины углов поворота нормали к исходной координатной поверхности, а относительная линейная деформация мала по сравнению с единицей. Нагрузка, действующая на оболочку, предполагается осесимметричной.

Для оболочки, испытывающей осесимметричную деформацию, уравнения равновесия в координатах деформированной поверхности имеют вид [15]:

$$\begin{aligned} \frac{d(\tilde{r}\tilde{N}_s)}{d\tilde{s}} - \tilde{N}_\theta \cos \tilde{\varphi} + \tilde{r} \frac{\tilde{Q}_s}{\tilde{R}_s} + \tilde{r}\tilde{q}_s &= 0; \\ \frac{d(\tilde{r}\tilde{Q}_s)}{d\tilde{s}} - \tilde{r} \left( \frac{\tilde{N}_s}{\tilde{R}_s} + \frac{\tilde{N}_\theta}{\tilde{R}_\theta} \right) + \tilde{r}\tilde{q}_\zeta &= 0; \\ \frac{d(\tilde{r}\tilde{M}_s)}{d\tilde{s}} - \tilde{M}_\theta \cos \tilde{\varphi} - \tilde{r}\tilde{Q}_s - \tilde{m}_s &= 0. \end{aligned} \quad (1)$$

Здесь  $N_s$ ,  $Q_s$ ,  $M_s$  – продольные, поперечные силы и изгибающие моменты в меридиональном направлении;  $N_\theta$ ,  $M_\theta$  – усилия в окружном направлении;  $R_s$ ,  $R_\theta$  – радиусы главных кривизн в меридиональном и окружном направлениях;  $r$  – радиус параллельного круга;

$s$  – длина дуги меридиана;  $q_s$  – касательная и  $q_\zeta$  – нормальная составляющие распределенных нагрузок;  $m_s$  – внешний распределенный момент. Тильдами сверху отмечены величины, относящиеся к деформированному состоянию оболочечного элемента.

Геометрия оболочки вращения после деформации связана с недеформированным состоянием следующим образом:

$$\tilde{r} = r + \tilde{u}_x; \quad \tilde{z} = z + \tilde{u}_z; \quad \tilde{\varphi} = \varphi + \tilde{\theta}_s,$$

где  $\theta_s$  – угол поворота нормали деформированной поверхности.

Нормальное и касательное перемещения точки поверхности:

$$\tilde{u} = \tilde{u}_x \cos \tilde{\varphi} + \tilde{u}_z \sin \tilde{\varphi}; \quad \tilde{w} = \tilde{u}_x \sin \tilde{\varphi} - \tilde{u}_z \cos \tilde{\varphi}.$$

Геометрические соотношения для оболочки в предположении осесимметричной деформации:

$$\begin{aligned}
 \frac{d\tilde{u}_x}{ds} &= \tilde{\varepsilon}_s \cos \tilde{\varphi} + \cos \tilde{\varphi} - \cos \varphi; \\
 \frac{d\tilde{u}_z}{ds} &= \tilde{\varepsilon}_s \sin \tilde{\varphi} + \sin \tilde{\varphi} - \sin \varphi; \\
 \frac{d\tilde{\theta}_s}{ds} &= \frac{d\tilde{\varphi}}{ds} - \frac{d\varphi}{ds} = (1 + \tilde{\varepsilon}_s) \tilde{\chi}_s + \frac{\tilde{\varepsilon}_s}{R_s}; \\
 \tilde{\varepsilon}_\theta &= \frac{\tilde{u}_x}{r}; \quad \tilde{\chi}_\theta = \frac{\sin \tilde{\varphi}}{\tilde{r}} - \frac{\sin \varphi}{r}; \\
 \tilde{\chi}_s &= \frac{1}{\tilde{R}_s} - \frac{1}{R_s}; \quad \tilde{\varepsilon}_s = \frac{d\tilde{u}}{ds} + \frac{\tilde{w}}{R_s} + \frac{1}{2} (\tilde{\theta}_s)^2 + \dots .
 \end{aligned} \tag{2}$$

Здесь  $\varepsilon_s$ ,  $\varepsilon_\theta$ ,  $\chi_s$ ,  $\chi_\theta$  – относительные деформации удлинения и изменения кривизны срединной поверхности оболочки в меридиональном и окружном направлениях.

Соотношения упругости, связывающие усилия и моменты с компонентами полной деформации с учетом гипотезы недеформируемых нормалей имеют вид

$$\begin{aligned}
 \tilde{N}_s &= C_{11}\tilde{\varepsilon}_s + C_{12}\tilde{\varepsilon}_\theta + K_{11}\tilde{\chi}_s + K_{12}\tilde{\chi}_\theta; \\
 \tilde{N}_\theta &= C_{21}\tilde{\varepsilon}_s + C_{22}\tilde{\varepsilon}_\theta + K_{21}\tilde{\chi}_s + K_{22}\tilde{\chi}_\theta; \\
 \tilde{S} &= C_{66}\tilde{\varepsilon}_{s\theta} + 2K_{66}\tilde{\chi}_{s\theta}; \\
 \tilde{M}_s &= K_{11}\tilde{\varepsilon}_s + K_{12}\tilde{\varepsilon}_\theta + D_{11}\tilde{\chi}_s + D_{12}\tilde{\chi}_\theta; \\
 \tilde{M}_\theta &= K_{21}\tilde{\varepsilon}_s + K_{22}\tilde{\varepsilon}_\theta + D_{21}\tilde{\chi}_s + D_{22}\tilde{\chi}_\theta; \\
 \tilde{H} &= K_{66}\tilde{\varepsilon}_{s\theta} + D_{66}\tilde{\chi}_{s\theta}.
 \end{aligned} \tag{3}$$

Здесь  $N_s$ ,  $N_\theta$  и  $S$  – мембранные усилия;  $M_s$ ,  $M_\theta$  и  $H$  – изгибающие и крутящий моменты;  $\varepsilon_{s\theta}$  – относительная деформация сдвига;  $\chi_{s\theta}$  – кручение координатной поверхности;  $C_{mp}$ ,  $K_{mp}$ ,  $D_{mp}$  ( $m, p = 1, 2$ ) – коэффициенты упругости.

Для изотропных оболочек

$$\begin{aligned}
 C_{11} = C_{22} &= \frac{Eh}{1-v^2}; \quad C_{12} = vC_{11}; \quad C_{66} = \frac{Eh}{2(1+v)}; \\
 D_{11} = D_{22} &= \frac{Eh^3}{12(1-v^2)}; \quad D_{12} = vD_{11}; \quad D_{66} = \frac{Eh^3}{24(1+v)}; \\
 K_{11} = K_{12} = K_{22} &= K_{66} = 0,
 \end{aligned}$$

где  $E$  – модуль упругости;  $v$  – коэффициент Пуассона;  $h$  – толщина оболочки.

Для получения разрешающей системы уравнений уравнения (1), (2) и (3) необходимо дополнить граничными условиями.

Например, для жестко защемленного левого края и свободного правого:

$$\begin{aligned}
 \tilde{u}_x &= \tilde{u}_z = \tilde{\theta}_s = 0, \text{ при } s = s_0; \\
 \tilde{N}_x &= \tilde{N}_z = \tilde{M}_s = 0, \text{ при } s = s_N.
 \end{aligned}$$

Для решения задачи использовался метод Ньютона–Канторовича, сводящий нелинейную краевую задачу к итерационной последовательности линейных краевых задач. При решении линейных краевых задач применялся метод сведения их к ряду задач Коши, которые интегрировались численно, методом Рунге–Кутта. Для обеспечения устойчивости решения жестких задач Коши применен метод дискретной ортогонализации С. К. Годунова.

### 3. Исследование закритических деформаций пологих эллипсоидальных панелей постоянной толщины

Исследовано напряженно-деформированное состояние пологих эллипсоидальных панелей постоянной толщины с защемлением на внешнем контуре под действием равномерного внешнего давления (рис. 1).

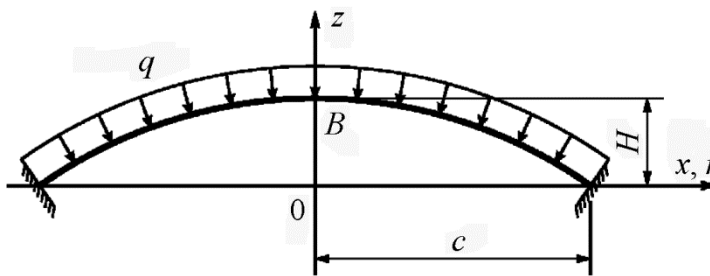


Рис. 1. Расчетная схема оболочки

Оболочки (рис. 2) имеют характеристики: модуль упругости  $E = 200$  ГПа; коэффициент Пуассона  $\nu = 0,3$ ; толщина  $h = 1$  мм; радиус опорного контура  $c = 100$  мм. Образующие оболочек очерчены в плоскости  $z0x$  по эллипсам, радиусы кривизны которых в полюсе (точка  $B'$ ) равны радиусу кривизны сферической панели [16]  $R_0 = 516,5$  мм с параметром пологости [7]  $b = \sqrt[4]{12(1-\nu^2)} \frac{c}{\sqrt{Rh}} = 8$ .

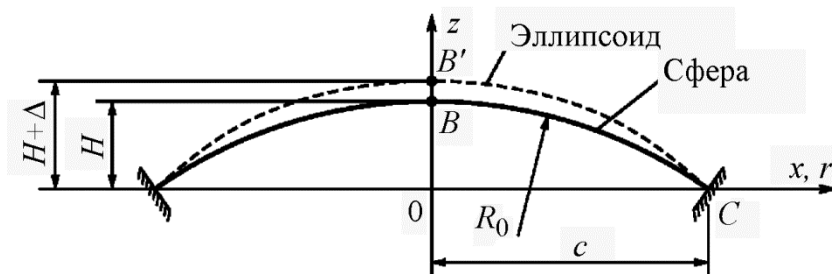


Рис. 2. Схемы сферической и эллипсоидальных оболочек

Параметры оболочек представлены в табл. 1.

Таблица 1

Параметры оболочек

№ п.п.	Оболочка	Радиусы кривизны, мм		$\Delta$ , мм	Полуоси эллипса	
		т. $B$ и $B'$ (в полюсе)	т. $C$ (на опоре)		$a$ , мм	$b$ , мм
1	Сфера	516,5	516,5	0	516,5	516,5
2	Эллипсоид	516,5	383,6	0,5	214,48	89,07

3			285,16	1,0	165,64	53,12
4			211,97	1,5	143,56	39,90
5			157,43	2,0	130,79	33,12

На рис. 3 приведены кривые деформирования оболочек в координатах: внешняя нагрузка – прогиб полюса при изменении высоты  $H$ , где  $\Delta = 0 \dots 2$  мм. Номера кривых соответствуют номерам табл. 1.

Кривые 1, 2 и 3 имеют петли, а на кривых 4 и 5 петли пропадают и остаются только четыре предельные точки для кривой 4:  $a$ ,  $b$ ,  $c$ ,  $d$ .

Для определения момента исчезновения петли и перехода к кривой с четырьмя предельными точками получены две кривые, представленные на рис. 4. Здесь, на кривой 2, точка  $b$  – предельная. Параметры оболочек, соответствующие этим кривым, приведены в табл. 2.

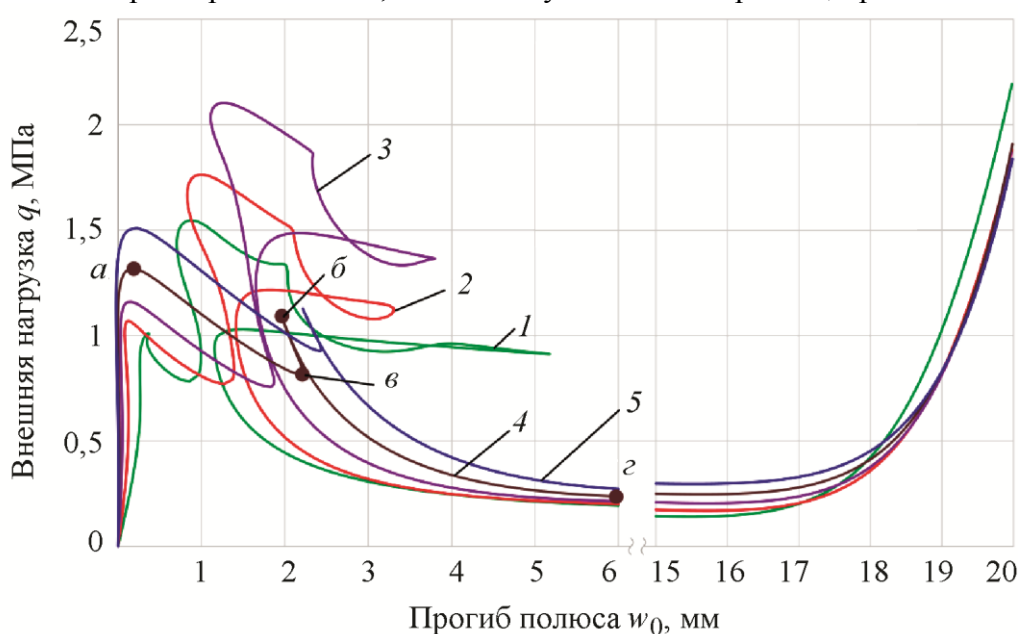


Рис. 3. Кривые деформирования оболочек: 1 – сфера,  $\Delta = 0$ ; 2 – эллипсоид,  $\Delta = 0,5$  мм; 3 – эллипсоид,  $\Delta = 1$  мм; 4 – эллипсоид,  $\Delta = 1,5$  мм; 5 – эллипсоид,  $\Delta = 2$  мм;

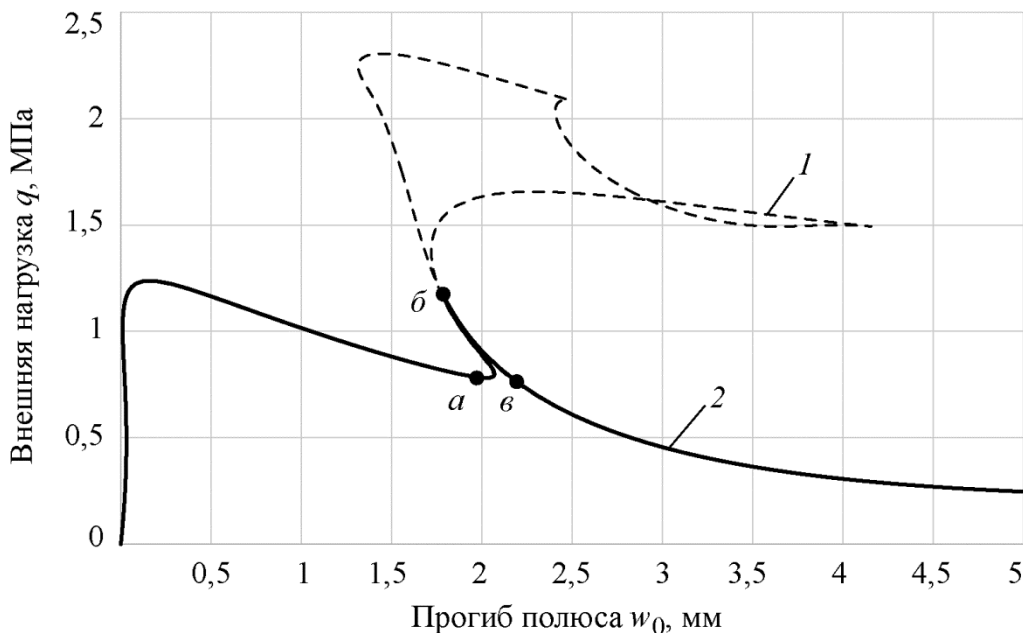


Рис. 4. Кривые деформирования оболочек:  
1 – эллипсоид,  $\Delta = 1,26$  мм; 2 – эллипсоид,  $\Delta = 1,27$  мм; а, б, в – предельные точки

#### Таблица 2

##### Параметры оболочек

№ п.п.	Оболочка	Радиусы кривизны, мм		$\Delta$ , мм	Полуоси эллипса	
		т. B' (в полюсе)	т. C (на опоре)		a, мм	b, мм
1	эллипсоид	516,5	244,42	1,26	152,46	45,00
2			242,97	1,27	152,04	44,75

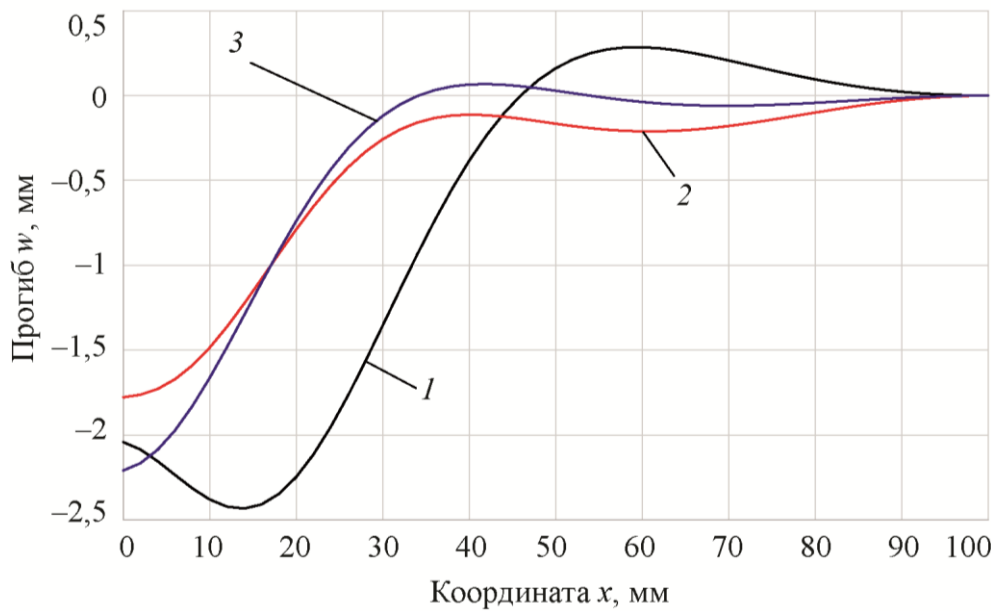


Рис. 5. Кривые прогибов: 1 – точка а; 2 – точка б; 3 – точка в

На рис. 5 представлены кривые прогибов оболочки с  $\Delta = 1,27$  мм для точек *a*, *b*, *c* (рис. 4). При переходе от точки *a* к точке *b* происходит прощелкивание кольцевого пояса вблизи центра и около опорного контура.

Выполненные расчеты по разработанной авторами программе показали эффективность использованных алгоритмов.

## Литература

1. Валишвили Н. В. Методы расчета оболочек вращения на ЭЦВМ. – М. : Машиностроение, 1976. – 278 с.
2. Вольмир А. С. Гибкие пластины и оболочки. – М. : Гостехиздат, 1956. – 420 с.
3. Ворович И. И., Минакова Н. И. Проблема устойчивости и численные методы в теории сферических оболочек. – М. : ВИНТИ, 1973. – С. 5–86.
4. Гаврюшин С. С. Численное моделирование и анализ процессов нелинейного деформирования гибких оболочек // Известия РАН, МТТ. – 1994. – № 1. – С. 109–119.
5. Григолюк Э. И., Мамай В. И. Механика деформирования сферических оболочек. – М. : Изд-во МГУ, 1983. – 114 с.
6. Григолюк Э. И., Лопаницын Е. А. Влияние осесимметричных начальных неправильностей сферической оболочки на ее критическую нагрузку // Известия МГТУ МАМИ. – 2008. – № 1 (5). – С. 233–246.
7. Grigolyuk E. I., Lopanitsyn Ye. A. The axisymmetric postbuckling behaviour of shallow spherical domes // Journal of Applied Mathematics and Mechanics. – 2002. – Vol. 66, iss. 4. – P. 605–616. – DOI: 10.1016/S0021-8928(02)00079-5.
8. Grigolyuk E. I., Lopanitsyn E. A. Asymmetric behavior of a sloping spherical shell under finite deflections // Doklady Physics. – 2003. – Vol. 48. – P. 80–83. – DOI: 10.1134/1.1560736.
9. Статика и динамика тонкостенных оболочечных конструкций / А. В. Кармишин, В. А. Ляскович, В. И. Мяченков, А. Н. Фролов. – М. : Машиностроение, 1975. – 376 с.
10. Корнишин М. С. Нелинейные задачи теории пластин и пологих оболочек и методы их решения. – М. : Наука, 1964. – 192 с.
11. Моделирование нелинейного деформирования и потери устойчивости упругих неоднородных оболочек / В. А. Баженов, Н. А. Соловей, О. П. Кривенко, О. А. Мищенко // Строительная механика инженерных конструкций и сооружений. – 2014. – № 5. – С. 14–33.
12. Муштари Х. М., Галимов К. З. Нелинейная теория упругих оболочек. – Казань : Таткнигоиздат, 1957. – 431 с.
13. Новожилов В. В. Основы нелинейной теории упругости. – М. : Гостехиздат, 1948. – 211 с.
14. Феодосьев В. И. К расчету хлопающей мембранны // Прикладная математика и механика. – 1946. – Т. 10, № 2. – С. 295–300.
15. Чупин В. В., Черногубов Д. Е. Сильный изгиб и устойчивость составных оболочек вращения при осесимметричном нагружении с учетом пластических деформаций : монография / деп. в ВИНТИ РАН 10.09.2018. – № 102-B2018. – 285 с.
16. Chupin V. V., Chernogubov D. E. Stability of flexible spherical panels of variable thickness under various fixing conditions // Diagnostics, Resource and Mechanics of Materials and Structures. – 2015. – Iss. 5. – P. 45–57. – DOI: 10.17804/2410-9908.2015.5.045-057. URL: [https://dream-journal.org/issues/2015-5/2015-5\\_36.html](https://dream-journal.org/issues/2015-5/2015-5_36.html)
17. Kármán T., Tsien H. The buckling of spherical shells by external pressure // Journal of the Aeronautical Sciences. – 1939. – Vol. 7, No. 2. – P. 43–50. – DOI: 10.2514/8.1019.
18. Mescall J. Numerical solutions of nonlinear equations for shells of revolution // AIAA Journal. – 1966. – Vol. 4, No. 11. – P. 2041–2043. – DOI: 10.2514/3.3839.